

54191
 $\frac{(\lambda)}{B}$ =

Zeitschrift für Physik Bd. 61, 1930.

P. SWING'S

Über das Resonanzspektrum des Schwefeldampfes

Prace Zakładu Fizyki Doświadczalnej
Universytetu Warszawskiego
Travaux de l'Institut de Physique
Expérimentale de l'Université
de Varsovie.
Nr 72a, 1930.



1930

54191 B
(8)

ZEITSCHRIFT FÜR PHYSIK

HERAUSGEGEBEN UNTER MITWIRKUNG
DER
DEUTSCHEN PHYSIKALISCHEN GESELLSCHAFT
VON
KARL SCHEEL

Sonderabdruck 61. Band. 9. und 10. Heft

P. Swings

Über das Resonanzspektrum des Schwefeldampfes



VERLAG VON JULIUS SPRINGER, BERLIN

1930

Zeitschrift für Physik

Dio

erscheint zweimalig in einem Heft, die zu Bänden von ca. 60 Seiten vereinigt werden.

Die Zeitschrift für Physik ist durch jede Buchhandlung sowie durch die Verlagsbuchhandlung Julius Springer, Berlin W9, Linstr. 23/24, zu beziehen. Die Mitglieder der Deutschen Physikalischen Gesellschaft erhalten die Zeitschrift für Physik zu einem mit dem Vorstande der Gesellschaft vereinbarten Vorauspreis geliefert.

Die Verfasser erhalten von Arbeitskosten bis zu 1½ Druckbogen Umlauf 100 Sonderabdrucke. Von größeren Arbeiten 50 Sonderabdrucke kostenfrei. Prof. Dr. Karl Scheel,
Berlin-Dahlem, Wunderstr. 22.

61. Band	Inhalt	9. und 10. Heft	9. und 10. Heft	9. und 10. Heft	9. und 10. Heft													
A. Güntherschulze, Die behinderte Glümmenbildung. II. (Mittelung aus dem Seite Reihen-Laboratorium der Oeram-Gesellschaft.) Mit 9 Abbildungen. (Ein- gegangen am 8. März 1930) 581	B. Rupp, Über das innere Gitterpotential von natürlichen und zöllinem Natrimum- chlorid. (Aus dem Forschungsinstitut der AEG.) Mit 5 Abbildungen. (Eingegangen am 7. März 1930) 587	C. L. S. Ornstein und J. Reyleck, Über die Frequenzabhängigkeit der Raman- schen Streustrahlung. (Mittelung aus dem Physikalischen Institut der Universität Utrecht.) Mit 1 Abbildung. (Eingegangen am 7. März 1930) 593	D. F. Rasetti, Über die Rotations-Ramanspektren von Stickstoff und Sauerstoff. (Mit 1 Abbildung. (Eingegangen am 10. März 1930) 598	E. W. Weizel, Über doppelte Rotationstermfolgen von Singulett-Σ-Termen. (Eingegangen am 20. März 1930) 602	F. Gerhard Herzberg, Zur Deutung der diffusen Molekülspektren (P-Liassoziation). (Mit 4 Abbildungen. (Eingegangen am 24. Februar 1930) 604	G. Guido Beck, Zur Systematik des Isotopen. III. (Eingegangen am 26. Februar 1930) 615	H. A. Wolf, Theorie des quadratischen Starkeffektes von Dublets und Triplets. (Mit 2 Abbildungen. (Eingegangen am 28. Februar 1930) 619	I. R. Frisch, Zur Drehrimpulsflame bei Lichtemissionsvorgängen. Mit 2 Abbild. (Eingegangen am 22. Februar 1930) 626	J. Antonio Carrelli, Der elektronische Ramaneffekt. (Einge. am 23. Februar 1930) 632	K. Philipp Frank und Walter Glaeser, Die statistische Mechanik Boltzmanns als Näherung der Wellenmechanik. (Eingegangen am 22. Februar 1930) 640	L. Carl Lees, Neue universelle Aufnahme-Kammer für Strukturuntersuchungen. (Mit 2 Abbildungen. (Eingegangen am 5. März 1930) 644	M. Oskar Heimstädt, Über das Relativitätsprinzip der klassischen Optik. Mit 3 Abbildungen. (Eingegangen am 3. März 1930) 655	N. K. C. Kar, Über eine weitere Ausdehnung der Kar-Müller'schen ver- allgemeinerten Statistik. (Eingegangen am 16. Februar 1930) 660	O. P. Swings, Über das Resonanzspektrum des Schwellendampfes. Mit 4 Abbild. (Eingegangen am 20. Februar 1930) 675	P. W. Linnik, Eine Vorrichtung zur Betrachtung von Spektrogrammen. Mit 2 Abbildungen. (Eingegangen am 26. Februar 1930) 681	Q. Leopold Infeld, Konzilgesetz und Quantenmechanik. II. (Eingegangen am 28. Februar 1930) 698	R. James Majumdar und Daulat Singh Kohari, Thermische Ionisation und Entartung. (Eingegangen am 2. März 1930) 712	S. Josef Zahrndick, Messung der Aktivität der Radiumionisation mittels der Drehwage. Vorläufige Mittteilung. Mit 3 Abbildungen. (Eingegangen am 3. März 1930) 719
M. Wolfke, Bemerkung zu „Statistische Deutung zur Einsteinschen Ableitung des Planckschen Gesetzes“ von R. C. Majumdar und D. S. Kochari in Alhabad. (Eingegangen am 8. März 1930) 725	T. Berichtigung 726																	

Über das Resonanzspektrum des Schwefeldampfes.

Von P. Swings aus Littich, zurzeit in Warschau.

(Eingegangen am 20. Februar 1930.)
Mit 4 Abbildungen. (Eingegangen am 20. Februar 1930.)

Mit Hilfe einer intensiven Belichtung ist eine eingehende Untersuchung des Resonanzspektrums des mit Quecksilberbogenlicht erzeugten Schwefeldampfes durchgeführt worden. Es ist gelungen, Dublettsysteme zu finden. Die äußerst komplizierte Struktur der Resonanzgruppen ist bei großer Dispersion untersucht und als Superposition mehrerer Dublettsystemen erdet worden. Die relativen Intensitäten der einzelnen Komponenten der Rotationsdubletts weisen eine deutliche Änderung mit der Änderung des Druckes und der Temperatur des erzeugten Dampfes auf.

Das Resonanzspektrum des mit Quecksilberbogenlicht erzeugten zweiatomigen Schwefeldampfes ist von Rosen* untersucht worden, der nur eine von der Linie 3182 Hg erregte Serie ausgemessen hat, ohne übrigens die Resonanzgruppen völlig in Linien aufzulösen. Rosen stellte fest, daß auch die Quecksilberlinien 3126, 3032 und 2998 Resonanzserien erregen, deren Terme eine komplizierte Struktur haben. Die schwache Intensität des Resonanzleuchtens macht die Anwendung einer genügenden Dispersion unmöglich, um die verschiedenen Serien voneinander trennen zu können und die genauere Struktur der Resonanzgruppen aufzufinden. Neuerlich hat Kessel** auf die sehr komplizierte Struktur der Resonanzterme des Tellurdampfes hingewiesen, deren Erklärung sehr große Bedeutung haben könnte. Übrigens waren bisher im Schwefel die klassischen Rotationsdublettsystemen nicht mit den Quecksilberlinien 3182, 3126, 3032 und 2998 zu erregen, sondern auch mit der Linie 2894. Auf Anregung von Prof. Dr. St. Pieškowskij habe ich eine neue Methodik für sehr intensive Erregung des Dampfes ausgearbeitet, die es mir ermöglichte, das Resonanzspektrum der S₂-Molekeln eingehend zu untersuchen. Es gelang, Resonanzserien nicht nur mit den Quecksilberlinien 3182, 3126, 3032 und 2998 zu erregen, sondern auch mit der Linie 2894. Alle diese Serien konnten ausgemessen, berechnet und bei verschiedener Dispersion untersucht werden. Außerdem habe ich vier Rotationsdublettsystemen entdeckt, die von den Quecksilberlinien 3655, 3132, 3126 und 2998 erregt werden. Für jede dieser Serien konnte man die Rotationsquantenzahl der erregten Molekeln bestimmen. Außerdem war es möglich, durch Anwendung großer Dispersion (1 Å/mm) eine wahrscheinliche Erklärung

* B. Rosen, ZS. f. Phys. 43, 106, 1927.

** W. Kessel, C. R. 189, 94, 1929.

der großen Kompliziertheit der Resonanzlinien des S_{α} zu geben. Endlich konnte durch Untersuchungen der Intensitätsänderung der Dublett-Komponenten bei verschiedenen Dichten und Temperaturen des erregten Dampfes gezeigt werden, daß das Verhältnis der Wahrscheinlichkeiten bei der Emission der Dublett-Komponenten eine Funktion der Dichte und der Temperatur ist.

Apparatur und Anordnung.

Das Quarzgefäß R , das den Schweißdampf enthielt, war zylindrisch, mit planparallelen Fenstern; die Dimensionen waren 6 cm Länge und 3 cm Durchmesser. Das Gefäß hatte ein 20 cm langes gebogenes Ansatzrohr, wie es in Fig. 1 gezeigt ist.

Das Gefäß R befand sich in einem elektrischen Ofen (Temperaturofen), während das Ansatzrohr in einem zweiten Ofen (Druckofen) angeordnet war. Auf diese Weise konnten Temperatur und Druck des Dampfes unabhängig voneinander geregelt werden. Die Gestalt des Ansatzrohrs gestattete die Anwendung von Diaphragmen, mittels welcher die thermische Strahlung des ersten Ofens von dem zweiten Ofen abgehalten wurde. Vor Einführung des Schwefels wurde das Gefäß aufs sorgfältigste durch längeres Aushitzen im Hochvakuum in einem elektrischen Ofen bei einer Temperatur von 80°C ent gast. Die einzuführende Substanz wurde zuerst mehrmals langsam im Hochvakuum destilliert; das reiste Produkt wurde dann in das Gefäß R

nach mehrmaligen Zwischendestillationen überdestilliert. Während aller Destillationen befand sich zwischen Pumpe und Destillationsgefäß eine flüssige Luft gestochene U-Palte. Die Quarzquecksilberlampe hatte die Form eines Ringes, wie man es in Fig. 1 sieht. Sie umgab das Resonanzgefäß, befand sich also im

Innen des ersten Ofens. Die Lampe wurde durch Erhöhung beider Barometer B gestündet, wodurch das Quecksilber im oberen Teil des Rings zur Berührung gebracht wurde. Man regelte dann die Barometertarbe derart, daß das Quecksilber eben beide Eisenelektroden E_1 und E_2 bedeckte, die stets durch einen Wasserstrom geföhrt wurden. Diese intensive Wasserkühlung sicherte eine relativ kleine Hg-Dampfdichte im Innern der Lampe. Die Lampe war mit einer Diffusionspumpe verbunden; eine oberhalb der Lampe sich befindende Wasserkühlung G kondensierte den Hg-Dampf, der so in den Bogen zurückgeführt wurde. Die Lampe arbeitete sehr regelmäßig; es genügte, täglich einige Minuten zu pumpen, um sie den ganzen Tag brennen zu lassen. Es wurde ein Strom von 5 bis 15 Amp. angewendet, die Leistung konnte 1 kW betragen. Die Lampe beleuchtete das Resonanzgefäß sehr intensiv längs des Rings und längs der zu beiden Elektroden führenden Röhren.

Unter diesen Bedingungen war die Resonanzstrahlung im sichtbaren Gebiet so intensiv, daß man die Änderungen der einzelnen Liniengruppen bei verschiedenen Temperaturen und Drucken vielleich feststellen konnte. Die Resonanzstrahlung wurde mittels einer Quarzlinse $f/2$ auf den Spalt des Spektrogramm projiziert.

Im sichtbaren Spektralgebiet wurde gewöhnlich ein Glasspektrograph mit einer Dispersion von ungefähr 12 \AA/mm bei $\lambda \sim 4200$ angewendet. Im Ultraviolet bediente ich mich hauptsächlich eines Quarspektrographen mit der Dispersion von ungefähr 17 \AA/mm bei $\lambda \sim 3200$. Bei Anwendung dieser Spektrogrammen dauerten die Expositionen einige Minuten. Bei kleinerer Dispersion (ungefähr 25 \AA/mm bei $\lambda \sim 4200$) für das sichtbare Gebiet genügten 10 Sekunden Exposition auf Imperial Ortho Platten 1200 H. D., bei einer Stromstärke von 8 Amp. in der Quecksilberlampe.

Die große Intensität der Resonanzstrahlung ermöglichte auch, einen

Spektrographen, Type Gory, von Jobin-Yvon, mit Glas- und Quarzoptik benutzt, dessen Dispersion in dem zu untersuchenden Gebiet von der Größenordnung 1 \AA/mm war. Die Expositionsduer betrug in diesem Falle 1 bis 10 Stunden.

Im allgemeinen ist das Resonanzspektrum des Schwefels sehr kompliziert. Das erklärt sich dadurch, daß neun Serien (fünf Multiplett- und vier Dublettserien) gleichzeitig von Quecksilberlinien, die ziemlich nahe beieinander liegen, erzeugt werden, und daß die Mehrzahl der Terme jeder Serie selbst aus einer Anzahl von Linien besteht.

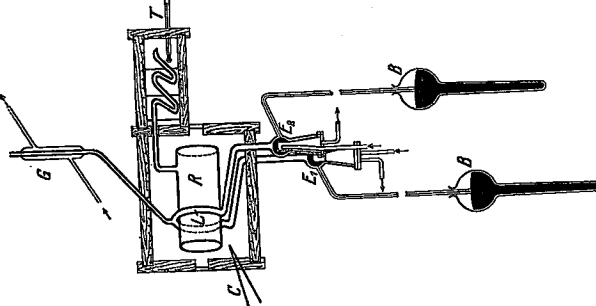


Fig. 1.

Die Fluoreszenz des Schwefels beginnt bei einem Druck von ungefähr 1 mm bei etwa 250° C, steigt bis 400°, bleibt ziemlich konstant bis zu 600° und beginnt bei weiterer Temperaturerhöhung abzunehmen.

Aus einer langen Reihe von Aufnahmen habe ich einen ungefähren Überblick über die Totalintensität der Fluoreszenz im sichtbaren Gebiet abgeleitet, den die folgende Tabelle zeigt; die Intensitätskale reicht von 1 bis 8 (1 äußerst schwach, 8 sehr intensiv).

Tabelle 1.

T	Druck	Int.	T	Druck	Int.
250°	6	1	580°	1	8
350	3	2	625	2,5	5
380	2,5	2-3	685	2,5	8-4
400	1	8	750	8	3
450	1	8	860	4	2-3
500	1	8	950	7	2

Arbeitet man bei konstanter Temperatur ($400 \leq T \leq 600$), so bemerkt man, daß die sichtbare Fluoreszenz schon bei einem Druck von $p = 8 \cdot 10^{-3}$ mm bemerkbar wird, und man kann folgende Zahlenbeispiele angeben:

Tabelle 2.

p	J	p	J
0,008	1	5	8
0,05	4-5	10	8
0,1	6-7	27	6
0,4	8	50	4
0,6	8	100	3
0,8	8	300	2
1	8	500	1
2	8		

Dubbettserien*.

In den folgenden Tabellen sind die gemessenen Werte der durch die Linien 8182, 8126, 2985 und 8655 Hg erregten Dubbettserien mitgeteilt.

Für die durch 8182 Hg erregte Serie sind nur die Messungen vom vierten positiven Term aus angegeben, da die drei ersten positiven Terme und die drei antiknotischen Glieder in den Bereich der Multipletts fallen, die ebenfalls durch 8182 erzeugt werden; mit einer mittelmäßigen Dispersion waren sie

nicht sicher aufzufinden. Für die durch 8126 und 2985 Hg erregten Serien wurde mit dem sechsten bzw. elften positiven Term begonnen.

Tabelle 3. A. Dubbettserie, erregt durch 3132 Hg.

v	2	Δv	Frequenzendifferenz	Intensität*
29 854 — 29 878	3849,7 — 3847,5	19	679	5
29 175 — 29 195	3425,2 — 3427,6	20	Mittelwert = 682	4
nicht gemessen				
sehr schwach, nicht gemessen				
27 130 — 27 150	8685,9 — 8683	20	666	3
sehr schwach, nicht gemessen	3778,7 — 3775,8	20	Mittelwert = 648	2
26 167 — 26 187	3978,5 — 3970,3	20 unges.	649	?
nicht gemessen***	4187,3 — 4184,5	18 unges.	640	1
28 870 — 28 897,6			Mittelwert = 639,5	1
schwach, nicht gemessen				
22 830,9 — 22 837,8	4420,7 — 4417,4	16,9	636	5
21 984,5 — 22 012,6	4536,6 — 4532,8	18	610	2
21 885,6 — 21 401,6	4678,1 — 4672,6	16		
4 schwache, nicht gem. Terme			Mittelw.*** = 18	

Aus den gemessenen Werten und aus der Berechnung der Lage der zweiten Komponente des zur erregenden Linie gehörigen Dubplets scheint

Tabelle 4. B. Dubbettserie, erregt durch 3126 Hg.

v	2	Δv	Frequenzendifferenz	Intensität
28 492 — 28 512	3509,7 — 3507,3	20	Mittelwert = 649	3
sehr schwach, nicht gemessen				
27 212,4 — ?***	3767,1 — 3764,3	19,8	Mittelwert = 650	1
26 545,8 — 26 565,6				
sehr schwach, nicht gemessen			Mittelwert = 648,6	2
25 246,9 — 25 263	3960,9 — 3958,35	18,1	641	1
24 598 — 24 615	4065,3 — 4062,55	17		
28 957 — 28 973,5	4174,15 — 4171,8	16,5	Mittelwert = 629	1
sehr schwach, nicht gemessen				
22 695,1 — 22 714,7	4405,4 — 4402,05	16,6	629	1
22 070,1 — 22 085,9	4531,4 — 4537,8	15,8	608,5	5
21 461,8 — 21 477,2	4659,5 — 4656,1	15,4		
4 schwache, nicht gem. Terme			Mittelwert = 16	

* Visuell geschätzt.

** Die erste Komponente war überdeckt durch 4078 Hg; deshalb war eine genaue Messung schwierig.

*** Man muß den Messungen der Terme im sichtbaren Spektralgebiet viel größeres Vertrauen schenken als im Ultraviolet.

de l' Acad. pol., Classe des Sciences (A) 1929, publiziert.

hervorzuheben, daß der Teil der Linie 3182 Hg, der diese Serie erregt, zum R-Zweig des Absorptionspektrums gehört; mit anderen Worten, daß während der Absorption die Rotationsquantenzahl von m nach $m-1$ springt.

Die Untersuchung bei großer Dispersion hat gezeigt, daß die zweite Komponente eine kleinere Wellenlänge als die erregende Linie hat; der Teil der Linie 3182, der diese Serie erregt, gehört also dem R-Zweig des Absorptionspektrums an.

Tabelle 5. C. Dublettserie, erregt durch 2988 Hg.

ν	λ	$\Delta\nu$	Frequenzdifferenz	Intensität
sehr schwach, ung. 26 765	ung. 3736			0,5
sehr schwach, ung. 26 100	ung. 3881			0,5
25 439,5 — 25 454,4	3880,9 — 38928,6	14,9	~ 665	4
24 786,9 — 24 801,6	4084,4 — 4082	14,7	653	2
23 494,1 — 23 508,9	4256,4 — 4253,7	14,8	Mittelwert	
22 861,9 — 22 877,9	4374,1 — 4371	16	= 646	2
21 388,6 — 22 249,2	4497,7 — 4494,5	15,7	631,6	1
21 303 — 21 623*	4629 — 4624,4	20	628,5	3
			627	0,5
			Mittelwert	
			= 16	

D. Dublettserie, erregt durch 3655 Hg (oder durch 3680 Hg).

ν	λ	$\Delta\nu$	Frequenzdifferenz	Intensität
Antistokesche Terme.				
23 748 — 28 782	3478,5 — 3474,4	34	702	1
28 046 — 28 080	3505,6 — 3501,3	34		2
Positive Terme.				
26 675 — 26 707	3748,9 — 3744,4	32	679	3
25 985 — 26 030	3846,9 — 3841,7	35	675	5
25 390 — 25 353	3949,4 — 3944,3	33	700	6
24 631 — 24 654	4061,6 — 4056,1	33	684	2
28 987 — 28 989	4174,1 — 4188,6	32	625	5
28 352 — 28 365	4235,9 — 4237,9	33		
			Mittelwert	
			= 35	

Man kann nicht mit Bestimmtheit sagen, ob die erregende Linie 3655 ist (in diesem Falle würde die Absorptionslinie 3655 einem R-Zweige angehören) oder 3650 (die zu einem P-Zweige gehören würde).

* Nicht genau gemessen.

Erregungsbedingungen. Die Serien A und B, die schon bei $p = 0,05$ mm beobachtbar sind, werden sehr intensiv bei $0,5 < p < 20$ mm und sind bis $p = 500$ mm vorhanden. Die Serie C, die bei niedrigen Drucken ($p < 1$ mm) intensiver als die beiden anderen ist, klingt bei $p > 1$ mm sehr schnell ab. Was die Serie D anbelangt, so ist sie sehr intensiv bei Temperaturen zwischen 600 und 800°C und bei Drucken von der Größenordnung 15 bis 20 mm; sie erscheint sehr schwach bei $p = 1$ mm, wenn die anderen Serien gerade ihre maximale Intensität haben.

Bestimmung der Rotationsquantenzahlen. Die Frequenzdifferenzen der Dublettikomponenten der obigen Serien sind:

1. für die Serien, erregt durch 3182, 3126, 2988 Hg: $\Delta\nu = 16 \text{ cm}^{-1}$ ungeteilt;
 2. für die Serie erregt durch 3655 Hg: $\Delta\nu = 38 \text{ cm}^{-1}$ ungeteilt.
- Um sicher zu sein, daß diese Dubletts nicht benachbarten Resonanzserien angehören, habe ich sie bei großer Dispersion (1 Å/mm) untersucht; die beiden Komponenten der Dubletts wurden nicht aufgelöst; es ist also sicher, daß man es hier mit Rotationsdubletts zu tun hat.
- Andererseits kann man aus den Messungen von Henri und Teves sofort berechnen, daß die Entfernung $\Delta\nu$ zwischen den Rotationsdublettikomponenten bei S_2

$$\Delta\nu = 8,1 \text{ m cm}^{-1} \text{ ungeteilt}$$

sein muß, wo m die Rotationsquantenzahl der erregten Moleköl ist. Daraus kann man den Schluß ziehen, daß die Serien A, B und C der Rotationsquantenzahl 2 der erregten Moleköl entsprechen, die Serie D aber der Quantenzahl 4.

Multiplettsystemen.

Außer den Multiplettsystemen, deren Struktur sich ziemlich einfach gezeigt hat und die zwei verschiedenen Erregungsmöglichkeiten entsprechen, sind auf den Aufnahmen andere komplizierte Liniengruppen zu sehen, die aber auch sicher Serien von multiplen Terren bilden. Die Untersuchung bei großer Dispersion zeigt sehr deutlich ihre große Kompliziertheit; so z.B. hat eine Gruppe 81 Linien (siehe weiter unten). Durch die benutzte intensive Erregung war es möglich, fünf dieser Serien, die durch die Linien 3182 (A), 3126 (B), 3022 (C), 2988 (D) und 2894 (E) erregt wurden, untersuchen zu können. Als Beispiel sei hier ein Überblick über drei solche Serien, nämlich die durch 3182, 3126 und 2988 Hg erregten, gegeben.

Multiplettserie, erregt durch die Linie 8182 Hg*. Diese Serie, die die intensivste ist, erstreckt sich sehr weit ins sichtbare Spektrum. Man hat drei antistokesche Gruppen (die dritte Gruppe ist äußerst schwach) und 20 positive Gruppen beobachtet.

Tabelle 7.

	Charakterisierung des Spektrums bei mittelmäßiger Dispersion	Frequenzen, ν	Intensitäten der Komponenten**	Gesamtintensitäten
Antistokesche Gruppen.				
1	6 Linien	von 32 620 bis 32 680	unregelmäßig	7
2	4 Linien	von 33 855 bis 33 418	unregelmäßig	7
3	4 sehr schwache Linien	um 34 040	Gleich	1
Positive Gruppen.				
0	s. weiter unten (große Dispersion)	von 31 188 bis 31 250	8	
1	s. weiter unten (große Dispersion)	von 30 980 bis 30 550	7	
2	4 starke und viel schwache Linien	von 29 780 bis 29 853	gleich	3
3	6 starke und viel schwache Linien	von 29 102 bis 29 162	unregelmäßig	5
4	4 starke und viel schwache Linien	von 28 404, 28 482, 28 449, 28 464, 28 477, 28 495	gleich	6
5	6 starke und viel schwache Linien	von 28 732 bis 27 805	3-1-1-1-2	5
6	4 Linien	von 27 083 bis 27 158	unregelmäßig	3
7	4 Linien	von 26 400 bis 26 465	gleich	3
8	4 Linien	von 25 721 bis 25 788	unregelmäßig	5
9	5 Linien	von 25 075 bis 25 112	unregelmäßig	4
10	3 schwache Linien (um 39984 Hg)	von 24 447 bis 24 479	unregelmäßig	1
11	4 Linien	von 23 781, 23 808, 23 812, 23 816, 23 829	ung. gleich	2
12	6 starke und viel schwache Linien	23 129, 23 147, 23 169,	4-3-5-4-4	7
13	5 starke und viel schwache Linien	23 177, 23 192	1,5-2-1-0,5	3
14	6 Linien	22 510, 22 514, 22 525, 22 535, 22 540, 22 555	-1-2	1
15	sehr schwach, nicht gemessen			
16	4 starke und 1 schwache Linie	21 241, 21 256, 21 269, 21 283, 21 298	1-1,5-0,5-3-3	4
17	4 Linien	20 689, 20 652, 20 671, 20 685	1,5-1-2-2	3
18	4 Linien	um 20 070	2-3	2
19	schwach, 4 Linien	nicht gemessen	siehe 17 und 18	2
20				

Mit großer Dispersion wurden die erste antistokesche Gruppe und auch die positiven Terme Nr. 0, 1, 2, 3, 4, 5, 12, 13 beobachtet; bei allen wurden außer den in der Tabelle angegebenen Linien zahlreiche schwächere Linien beobachtet.

* Die Linie 8182 Hg ist übrigens ein Dublett, dessen gleich intensive Komponenten eine Entfernung von $A\nu = 2,9 \text{ cm}^{-1}$ haben; siehe weiter unten die Untersuchung bei großer Dispersion.

** Die relativen Intensitäten ändern sich mit Druck und Temperatur.

Multiplettserie, erregt durch die Linie 3126 Hg.
In dieser Serie wurden 8 antistokesche Gruppen (die dritten ist kaum feststellbar) und 13 positive Gruppen beobachtet. Von der 18. Gruppe an sind die Intensitäten so schwach, daß eine Messung nicht möglich ist.

Tabelle 8.

	Charakterisierung des Spektrums bei mittelmäßiger Dispersion	Frequenzen, ν	Intensitäten der Komponenten*	Gesamtintensitäten
Antistokesche Gruppen.				
1	2 starke und 1 schwache Linie	32 704, 32 729, 32 760	4-4-1	4
2	2 starke und 1 schwache Linie breit und unlerst schwach	32 412, 32 437, ? um 34 100	4-4-1	0,5
3				
0	s. weiter unten (große Dispersion)	31 278 bis 31 367		
1	2 starke u. mehr schwache Linien	30 586, 30 614	3-3	3
2	2 starke u. mehr schwache Linien um 3342 Hg	29 226, 29 251	1-1	1
3	2 starke und schwache Linie	28 527, 28 550, 28 572,	6-2-2-3	3
4	4 Linien	28 598	gleich	2
5	4 Linien	27 900	gleich	4
6	2 starke und 1 schwächer Linie	27 212, 27 235; 3. Linie bei 3963 Hg	3-3-2	4
7	2 Linien	26 484, 26 486	1-1	1
8	sehr schwach	nicht gemessen	0	
9	4 Linien	von 24 633 bis 24 654	gleich	2
10	4 Linien	von 23 900 bis 23 937	gleich	0,5
11	4 Linien	nicht gemessen		
12	4 Linien	nicht gemessen		
13	4 Linien	nicht gemessen		
14	4 Linien	nicht gemessen		
15	4 Linien	nicht gemessen		
16	4 Linien	nicht gemessen		
17	4 Linien	nicht gemessen		
18	4 Linien	nicht gemessen		
19	4 Linien	nicht gemessen		
20				

Tabelle 9.

	Charakterisierung des Spektrums bei mittelmäßiger Dispersion	Frequenzen, ν	Intensitäten der Komponenten*	Gesamtintensitäten
Antistokesche Gruppe.				
1	3 Linien	34 331, 34 381, 34 429	4-4-2	4
2	5 Linien	33 059 bis 32 934	unregelmäßig	6
3	6 starke u. mehr. schwache Linien	32 219, 32 244, 32 268, 32 280, 32 318, 32 352	unregelmäßig	5
4	5 Linien	30 842 bis 30 940	2-2-2-1-3	4
5	6 Linien	29 495, 29 536, 29 580, 29 576	2-2-5-5	5
6	4 Linien	28 652 bis 28 710	gleich	4
7	komplexe Gruppe	27 932, 27 958, 27 987	gleich	3
8	8 Linien	um 3655 Hg		
9				

* Die relativen Intensitäten ändern sich mit Druck und Temperatur.



Struktur der Resonanzgruppen. Untersuchung mit großer Dispersion.

Ich habe schon* die große Kompliziertheit der Resonanzgruppen des S_3 hervorgehoben, die auftaucht, wenn man sie bei großer Dispersion untersucht. In der erwähnten Arbeit habe ich eine Tabelle für die 31 Linien, die die 13. positive Gruppe der Multiplettsrie A (erzeugt durch 8182 Hg) bilden, angegeben. In Fig. 2 ist ein Mikrophotogramm dieser Gruppe dargestellt.

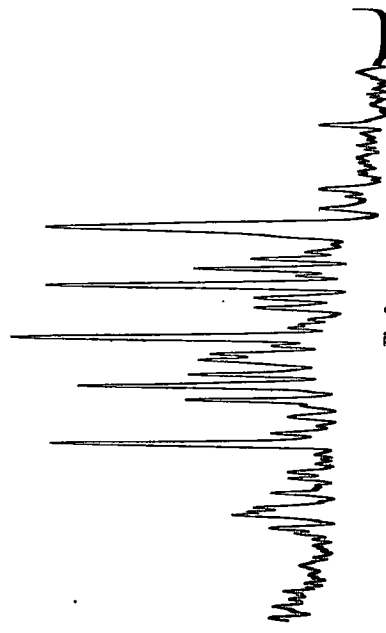


Fig. 2.

Die komplizierte Struktur ist ähnlich derjenigen, die Kessel am Tellur beobachtet hat** (bei S_3 ist sie noch ausgeprägter).

Diese Kompliziertheit legt den Gedanken nahe, daß die resonierenden Moleküle auch komplizierten Aufbau haben (z. B. mit mehreren Trägheitsmomenten), oder auch, daß sekundäre Erregung vorhanden ist.

Um den Ursprung der Resonanzmultipletts zu finden, habe ich mehrere Gruppen bei großer Dispersion untersucht, hauptsächlich in der Nachbarschaft der Linien 8182 und 8126 (die die intensivsten Serien geben) und auch die positiven Gruppen Nr. 1 von der Serie A , 1 von der Serie B und 3 von der Serie D .

* Bull. Acad. Polonaise (A) 1929.

** W. Kessel, C.R. 186, 94, 1929 und Sprawozdanie i Prace Poliego Tow. Fiz. 4 [2], 188, 1929.

I. Umgebung der Linien 8182 und 8126.

Anstatt die Photographic zu reproduzieren, wobei die Feinheit der Linien nicht zum Vorschein kommt, gebe ich in Fig. 8 das Mikrophogramm des Spektralgebiets zwischen 8126 Hg und die erste positive Gruppe der Multiplettsrie A wieder. Aus diesem er sieht man deutlich die komplexe Struktur des Resonanzspektrums.

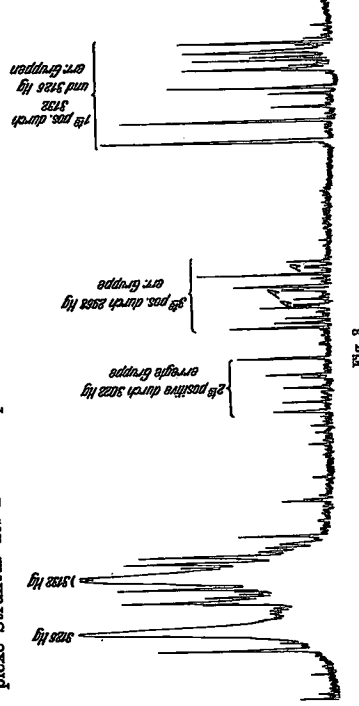


Fig. 8.

Die Linie 8182 ist ein Dublett, dessen Komponenten E_1 und E_2 sich voneinander um $2,9 \text{ cm}^{-1}$ unterscheiden ($\nu = 81929$ und $81931,9$). Nennen wir E_3 die Linie 8126 ($\nu = 81926$) und seien $\Delta\nu$ die Differenzen zwischen den Wellenzahlen der im Resonanzspektrum beobachteten Linien und der Wellenzahl der langwelligeren Komponente E_1 der Hg-Linie 8182. Die verschiedenen Linien sind in der folgenden Tabelle zusammengestellt.

Tabelle 10.

Nr.	$\Delta\nu$	Intensitäten	Nr.	$\Delta\nu$	Intensitäten
1	81,8	1	15	-2,9	20
2	80	2	16	-9,4	2
3	41,5	3	17	-11,1	2
4	32,6	1	18	-15,6	5
5	28,6	1	19	-19,3	2
6	24,6	1	20	-22,5	2
7	20,2	5	21	-25,6	3
8	18,8	1	22	-28,3	2
9	17,1	1	23	-30,6	5
10	13,2	6	24	-32,4	2
11	11,8	1	25	-34,1	2
12	9,9	1	26	-63	1
13	8	8	27	-79	1
14	5,5	1	28	-86	5
	0	20	29	-87,5	2
					D. S. 1929
					C. R. 188, 1929
					Bull. Acad. Polonaise (A) 1929
					Sprawozdanie i Prace Poliego Tow. Fiz. 4 [2], 188, 1929

D. S. 1929
C. R. 188, 1929
Bull. Acad. Polonaise (A) 1929
Sprawozdanie i Prace Poliego Tow. Fiz. 4 [2], 188, 1929

Andererseits wissen wir, daß der Abstand der Rotationsdublettkomponenten im Resonanzspektrum des Schwefels ungefähr durch die Formel

$$\Delta \nu = 8,1 m \text{ cm}^{-1} \quad (1)$$

gegeben ist, wobei m die Rotationsquantenzahl des erregten Moleküls dar mit A bezeichneten, entweder der Linie E_1 oder E_2 oder E_3 zuschreiben bedient.

Wie man aus Tabelle 11 sieht, kann man die 27 in der Umgebung der Linien 8182 und 8126 aufgefundenen Resonanzlinien, mit Ausnahme der mit A bezeichneten, entweder der Linie E_1 oder E_2 oder E_3 zuschreiben darunter, daß die Formel (1) erfüllt ist.

Tabelle 11.

Nr.	m	$\Delta \nu_{\text{res}}$	Erregende Linie	Nr.	m	$\Delta \nu_{\text{res}}$	Erregende Linie
1	10	8,2	E_1	17	2	7,8	E_1
2	10	8,3	E_1	18	2	8,2	E_1
3	5	8,2	E_1	19	5	8,1	E_1
4	4	8,1	E_1	20	3	8,5	E_1
5	4	7,9	E_1	21	8	8,4	E_1
6	3	8,2	E_1	22	4	8,1	E_1
7	3	7,7	E_1	25	2	8	E_3
10	2	8,05	E_3	26	3	7,7	E_3
13	1	8	E_1	27	—	—	E_1 oder E_3
14	1	8,4	E_3				

Der mittlere Wert von $\Delta \nu/m$ ist gleich 8,07.

Die mit A bezeichneten Linien sind Dubletts, deren Abstand 1,7 cm^{-1} beträgt und deren Komponenten von gleicher Intensität sind. Es ist unmöglich, manche dieser Dubletts, die auch in anderen Resonanzgruppen mit im Mittel denselben Abstand * wiedergefunden werden, irgendwie einzutordnen. Wie die Mikrophotometerkurve zeigt, sind diese Dublettlinien besonders deutlich sichtbar in der dritten positiven, durch 2968 erzeugten Gruppe.

Ich kann bis jetzt keine befriedigende Erklärung dieser Linien geben. Sie können nicht von der gleichzeitigen Erzeugung durch die Linien E_1 und E_3 stammen, da der Abstand $E_1 E_3 = 2,9 \text{ cm}^{-1}$ ist. Andererseits ist keine der erzeugenden Linien ein Dublett von dem ungefähr Abstand 1,7 cm^{-1} , die Dublett von kleinstem Abstand sind 8182 ($\Delta \nu = 2,9 \text{ cm}^{-1}$).

* Messungen verschiedener A -Dubletts haben gegeben: $\Delta \nu = 1,7, 1,9, 1,7, 1,6, 1,7, 1,75, 1,5, 1,6$.

und 2968 ($\Delta \nu = 8,4 \text{ cm}^{-1}$). Die Isotopen scheinen ebenfalls die besprochenen Dubletts A nicht deuten zu können*.

II. Erste positive Gruppe der durch die Hg-Linien 8182 und 8126 erzeugten Multiplettsierien.

Wenn wir mit $\Delta \nu$ die Wellenzahldifferenzen zwischen den verschiedenen Linien und einer von ihnen, die ziemlich starke Intensität aufweist, bezeichnen, so erhalten wir folgende Tabelle:

Tabelle 12.

Nr.	$\Delta \nu$	Int.	Nr.	$\Delta \nu$	Int.
1	41,9	1	13	—	7,6
2	26,9	1-2	14	—	9,5
3	21,5	5	15	—	11,1
4	20,6	2	16	—	12
5	17,8	1	17	—	13,5
6	16,1	0-1	18	—	83,2
7	11,8	2d	19	—	85,3
8	10,8	2s	20	—	41,8
9	9,4	5	21	—	58,2
10	3,3	3	22	—	74,9
11	0	5	23	—	98,5
12	—2,75	0-1			

Die Einordnung in Rotationsdubletts kann nicht auf Grund der Intensität der Linien durchgeführt werden, die ja von der Reabsorption abhängt und sich auch mit dem Druck ändert (siehe weiter unten). Bei der Einordnung in Dubletts müssen folgende Bedingungen beachtet werden:

1. $\Delta \nu/m$ muß ungefähr 8,1 betragen;

2. es kann nicht mehr als sechs Dubletts einer bestimmten Quantenzahl geben (es gibt drei erregende Linien: E_1 , E_2 und E_3). Die Linie E_3 scheint durch die Linie Nr. 22 ersetzt zu sein, so daß man die Einordnung erhält:

1. $\Delta \nu/m = 5 \quad m = 5 \quad \frac{\Delta \nu}{6} = 7,9$

2. $m = 4 \quad \frac{\Delta \nu}{4} = 8,25$

3. $m = 2 \quad \frac{\Delta \nu}{2} = 8,3$

4. $m = 3 \quad \frac{\Delta \nu}{3} = 7,9$

* Wenn man es hier mit Rotationsdubletts zu tun hätte, so wäre das entsprechende Trägheitsmoment $J_1 = 68 \cdot 10^{-49} \text{ m}^2$. Für $m' = 1$ ist J_1 mehr als viermal größer als das Trägheitsmoment von S_p . Zeitschrift für Physik. Bd. 61.

Die anderen Linien ordnen sich wie folgt:

$2 \swarrow 9$	$m = 2$	$\frac{\Delta\nu}{2} = 8,2$	$10 - 7$	$m = 1$	$\frac{\Delta\nu}{1} = 8,5$	$6 \swarrow 7$	$m = 1$	$\frac{\Delta\nu}{1} = 8,3$	$16 \swarrow 1$	$m = 7$	$\frac{\Delta\nu}{7} = 7,9$
$5 \swarrow 1$	$m = 1$	$\frac{\Delta\nu}{1} = 8,4$				$10 - 14$	$m = 1$	$\frac{\Delta\nu}{1} = 8$	$1 \swarrow 14$	$m = 3$	$\frac{\Delta\nu}{3} = 7,9$
$11 \swarrow 13$	$m = 5$	$\frac{\Delta\nu}{5} = 8,2$		$15 \swarrow 12$	$m = 4$	$\frac{\Delta\nu}{4} = 7,9$			$15 - 2$	$m = 8$	$\frac{\Delta\nu}{8} = 8,1$
$16 - 3$	$m = 4$	$\frac{\Delta\nu}{4} = 8,3$							$11 - 17$	$m = 4$	$\frac{\Delta\nu}{4} = 8,2$
$17 - 8$	$m = 3$	$\frac{\Delta\nu}{3} = 7,9$									
$6 \swarrow 14$	$m = 6$	$\frac{\Delta\nu}{6} = 8,2$									
	$m = 3$	$\frac{\Delta\nu}{3} = 7,9$									

Diese Zusammenstellung ist nicht die einzige mögliche, und manche Linien könnten selbstverständlich in andere Doublets eingruppiert werden.

III. Dritte positive Gruppe der durch die Hg-Linie 2988 erregten Multiplettserie.

Für diese Gruppe haben wir folgende Tabelle:

Tabelle 13.

Nr.	$\Delta\nu$	Int.	Nr.	$\Delta\nu$	Int.
1	89	0	10	-21,9	0
2	14,9	0-1	11	-28	2
3	9,1	1-2	12	-34,4	2
4	7,6	1	13	-35,9	4
5	0	1	14	-37,85	3
6	-5,6	1	15	-49,6	2
7	-13,95	4	16	-55,2	2-3
8	-16,7	2	17	-60,9	4
9	-18,2	2			

Die drei Doublets A sind auf der Mikrophotometerkurve sichtbar.
Wenn man von ihnen absieht, kann man folgende Gruppierung erhalten:

Die hier angegebene Einordnung scheint dafür zu sprechen, daß, mit Ausnahme der Doublets A, die Komplexität des S₂-Resonanzspektrums durch die Überlagerung einiger Rotationsterme bedingt ist.

Die nachstehende Erklärung dieser Vielfachheit der Rotationsterme ist, daß die erregende Linie mehrere zu verschiedenen Rotationszuständen gehörende Absorptionslinien überdeckt.

Für einige der schwachen Linien ist es vielleicht auch möglich, ihren Ursprung in Zusammenstoßen zu suchen, da das Auswahlprinzip in diesem Falle nicht anwendbar ist*.

Aus den durchgeführten Betrachtungen ersieht man, daß es zur befriedigenden Deutung der Komplexstruktur der Resonanzerme nicht notwendig ist, zusammengesetzte Mechanismen oder komplizierte Aufbau der S₂-Moleküle heranzuziehen.

Änderungen des Resonanzspektrums mit dem Druck und der Temperatur. Ich habe schon vorher erwähnt, daß die verschiedenen Doubletten serien ihre maximalen Intensitäten unter verschiedenen Bedingungen aufweisen. Den Unterschied zwischen den Doubletten A, B und C illustriert die beigelegte Mikrophotometerkurve (Fig. 4 und 4a). Bei $p = 1$ mm ist die Serie C intensiver als die Serien A und B; im Gegensatz dazu ist sie bei $p = 10$ mm die schwächste.

Der Einfluß der Temperatur, obwohl deutlich beobachtbar, ist viel weniger ausgeprägt als der Druckeinfluß. Bei konstantem Druck ruft ein Zuwachs der Temperatur ($400 \leq T \leq 600$) eine Schwächung der Serie C

* Die Arbeiten von Wood und Loonis haben gezeigt, daß die Rotationsniveaus leicht durch Stoße modifiziert werden können.

im Vergleich zu den Serien A und B hervor. Für $p \sim 1$ mm und bei $T = 400^\circ\text{C}$ ist die Serie C intensiver als A und B; bei $p \sim 1$ mm und $T = 580^\circ\text{C}$ sind die Intensitäten der drei Serien ungefähr gleich.

Doch weitauß interessanter ist die Änderung der relativen Intensitäten der einzelnen Komponenten der Rotationsdoublets. Ich habe auf diese Änderung schon vor einigen Monaten hingewiesen*, und jetzt habe ich

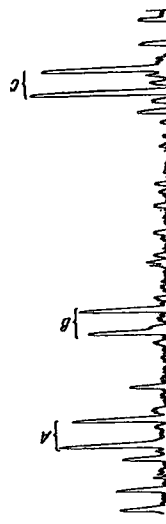


Fig. 4.

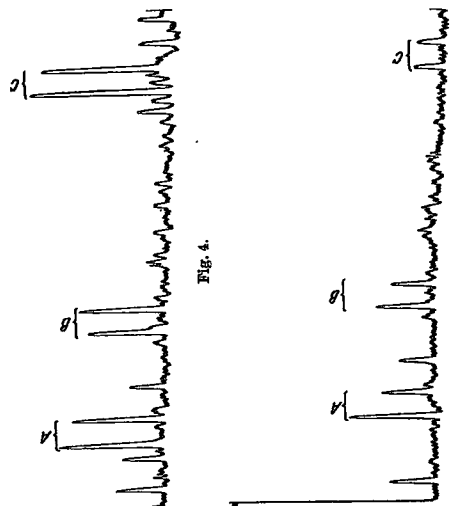


Fig. 4a.

systematische Untersuchungen darüber durchgeführt**. Die Änderung findet gleichzeitig bei allen Termen derselben Serie statt; bei allen Serien ist diese Änderung übrigens nicht beachtbar.

Die weitaus typischsten Beispiele geben die Doublettenreihen, welche von 3132 Hg (Serie A) und 3126 Hg (Serie B) erregt werden. Besonders habe ich die Änderungen der Doublets 4546 bis 4548 (Doublett A) und 4531 bis 4528 (Doublett B) verfolgt. Um die besten photometrischen Bedingungen zu haben, habe ich die Doublets A und B auf derselben Platte aufgenommen, bei gleichbleibenden übrigen Bedingungen; die benutzte Dispersion war ungefähr 1 Å/mm und der Druck $p = 1 \text{ mm}$ und $p = 10 \text{ mm}$. Nachher wurden Mikrophotometerkurven mit einem Mollischen Mikrophotometer aufgenommen (Fig. 4).

* P. Swings, Bull. Acad. Pol. (A) 1929.
** P. Swings, C. R. 190, Februar 1930.

Diese Kurven zeigen deutlich, daß in dem Doublett A die Intensität der langwelligeren Komponente C_1 relativ zur Intensität der kurzwelligeren Komponente C_a wächst, wenn der Druck zunimmt. Bei dem Doublett B ist bei niedrigem Druck ($p = 1 \text{ mm}$) die Komponente C_a die intensivere, bei höherem Druck ($p = 10 \text{ mm}$) dagegen C_1 .

Die Untersuchung einer Anzahl Aufnahmen gestattet folgende Schlüsse über die Serie A zu ziehen:

1. bei $p \leq 1 \text{ mm}$ sind die Komponenten ungefähr gleich intensiv;
2. mit wachsendem p wird C_1 immer intensiver im Vergleich zu C_a ;
3. bei $p \geq 50 \text{ mm}$ ist die Komponente C_1 viel intensiver als C_a .

Ähnliche Änderungen treten auch bei der Serie B auf.

Es entsteht die Frage, ob diese Änderungen nicht durch Reabsorption in dem Schwefeldampf hervorgerufen sein können? Die Erklärung ist nicht sehr wahrscheinlich, denn die Änderung der relativen Intensitäten erfolgt in dem gleichen Sinne bei allen Doublets derselben Serie und entspricht nicht dem Absorptionspektrum des Schwefels, das wir kennen. Dessenungeschäfts habe ich, um den Einfluß der Reabsorption zu untersuchen, folgenden Versuch angestellt. Zwischen dem Resonanzgefäß T_1 und dem Spektrographen wurde in dem ersten Ofen ein zweites zylindrisches Gefäß T_2 mit planparallelen Fenstern gebracht, das auch Schwefeldampf enthielt. Der Druck in diesem zweiten Gefäß konnte ebenfalls mittels eines Ansatzrohres geändert werden. Mittels Diaphragmen wurde eine Eregung des Schwefeldampfes in T_2 von dem Quecksilberbogen unmöglich gemacht; in solcher Weise diente T_2 ausschließlich als Absorptionsgefäß. Der Druck des Schwefeldampfes im Gefäß T_1 betrug ungefähr 1 mm; in T_2 dagegen wurde der Druck von 5 bis 20 mm gefaßt. Die Zwischen schaltung des Gefäßes T_2 rief keine Änderung der relativen Intensitäten der Komponenten C_1 und C_a hervor.

Diese Ergebnisse zeigen, daß das Verhältnis der Emissionswahrscheinlichkeiten der einzelnen Komponenten vom Druck abhängt.

Mit anderen Worten, die Wahrscheinlichkeit für den Übergang der erregten Molekel von der Rotationsquantenzahl m zu $m-1$, ist nicht gleich der Wahrscheinlichkeit des Überganges von m zu $m+1$, und das Verhältnis dieser Wahrscheinlichkeiten ist vom Druck abhängig.

Eine Erhöhung der Temperatur des Dampfes bei konstanter Dichte ruft einen analogen, nur viel weniger ausgeprägten Effekt hervor. Aus dem Vergleich der Resonanzspektren bei 400°C und bei 580°C — bei gleich-

bleibenden anderen Bedingungen — kann man ersiehen, daß die langwelligere Komponente im Vergleich zur kurzwelligeren Komponente intensiver wird. Eine analoge Änderung, doch in viel kleinerem Maße, kann man bei Änderung des Druckes in den Multipletts beobachten. So z. B. wird in dem Sextuplett (4205,5 — 4196,6) (12. Gruppe der Multiplettserie A) mit wachsendem Druck der Unterschied zwischen den Intensitäten der mittleren und der Bandlinien immer ausgeprägter. Doch kommt man daraus keine bestimmten Folgerungen ziehen, wie bei den Doublets A und B, denn wie schon gesagt, scheinen die Multipletts durch Superposition mehrerer Serien hervorgerufen zu sein, und diese verschiedenen Serien können ihre relative Intensität mit dem Drucke ändern.

Mit wachsendem Druck und wegen der Reabsorption verschwindet der extreme violette Teil viel schneller als der langwelligere Teil. Diese Reabsorption wurde mit Hilfe des vorhin erwähnten Absorptionsrohres untersucht. So z. B. sind bei $p \sim 1$ mm die Intensitäten der 12. und 18. Gruppe, die durch 3132 erregt wurden, ungefähr gleich. Bei $p > 10$ mm verschwindet die 12. Gruppe viel schneller als die 18. Deswegen glaubten MacLennan, Walestein und Smith*, daß die Erregung des Schwefelmolekels bei $\lambda = 4050$ stattfindet, denn sie arbeiteten mit gestätigtem Schwefeldampf, d. h. bei Drucken über 20 mm.

Ergebnisse. Das Resonanzspektrum des Schwefels ist eingehend untersucht worden mit Hilfe eines Quecksilberbogens von besonderer Konstruktion, der eine sehr intensive Belichtung des Dampfes gestattete. Es wurden vier Doubletserien erhalten, die mit den Linien 3132, 3126, 2968 und 3655 erregt werden. In den drei mit 3132, 3126 und 2968 Hg erregten Serien ist die Entfernung der Doublettkomponenten ungefähr $\Delta \nu = 16 \text{ cm}^{-1}$; diese Serien entsprechen der Rotationsquantenzahl $m = 2$ für die erregte Molekel S_r. In der vierten mit 3655 Hg erregten Serie ist die Distanz $\Delta \nu = 38 \text{ cm}^{-1}$; diese Serie entspricht der Rotationsquantenzahl $m = 4$.

Außerdem sind fünf Multiplettserien untersucht worden; die verschiedenen Gruppen dieser Serien haben eine sehr komplizierte Struktur, die besonders deutlich bei Anwendung großer Dispersion sichtbar wird; in einem dieser Terme wurden 81 Linien gefunden. Es gelang jedoch mittels der Untersuchung bei großer Dispersion, diese Linien in Rotationsdubletts zu gruppieren. Man könnte so diese Struktur befriedigenderweise erklären, ohne sekundäre Erregungen oder komplizierten Aufbau der Schwefelmolekeln zu Hilfe zu ziehen.

* Phil. Mag. 3, 390, 1927.

Endlich sind Beobachtungen über die Änderungen der relativen Intensitäten der Komponenten der Rotationsdubletts mit Änderung des Druckes und der Temperatur gemacht worden. Diese Änderungen sind besonders deutlich in den mit 3132 und 3126 Hg erregten Doubletsen. In diesen Serien werden die Komponenten C_1 größerer Wellenlänge, die bei niedrigem Druck ($p < 1$ mm) die gleiche Intensität haben wie die Komponenten C_2 kürzerer Wellenlänge, viel intensiver als C_3 , wenn der Druck vergrößert wird ($p > 10$ mm). Der Absorption kann man diese Änderungen nicht zuschreiben; denn man sieht keine Änderung im Verhältnis der Komponentenintensitäten, wenn man vor dem Resonanzgefaß bei niedrigem Druck ein Absorptionsgefaß mit hohem Dampfdruck anbringt. Daraus könnte man den Schluß ziehen, daß die Übergangswahrscheinlichkeit der erregten Molekel von der Rotationsquantenzahl m zu $m - 1$ nicht gleich der Übergangswahrscheinlichkeit zu $m + 1$ ist, und daß das Verhältnis dieser beiden Wahrscheinlichkeiten von dem Druck und von der Temperatur des Dampfes abhängt.

Zum Schluß sei es mir erlaubt, Herrn Prof. Dr. St. Pieńkowski für die freundliche Aufnahme in seinem Institut und für seine wertvollen Ratschläge bei Ausführung dieser Arbeit meinen herzlichsten Dank auszusprechen.

Warschau, Institut für Experimentalphysik der Universität.



VERLAG VON JULIUS SPRINGER / BERLIN

Synchronmaschinen und Einankerumformer

(II. Band des Werkes „Elektr. Maschinen“)

Von Dr.-Ing. **Rudolf Richter**

Professor an der Technischen Hochschule in Karlsruhe
Direktor des Elektrotechnischen Instituts

Mit Beiträgen von Dr.-Ing. Rob. Brüderlin, a.o. Professor an der Fachh. Hochschule Karlsruhe. Mit 519 Textabbildungen. XIV, 707 Seiten. 1930. Gebunden RM 99.—

Der vorliegende zweite Band der „Elektrischen Maschinen“ behandelt als Fortsetzung des ersten Bandes (Allgemeine Berechnungsgerüste und Gleichstrommaschinen) die Synchronmaschinen und die Einankerumformer. Die Darstellung ist dem ersten Bande angepaßt. Der neue Band befaßt sich nicht nur ausführlich mit der Berechnung der Maschinen, sondern ebenso mit ihrer experimentellen Untersuchung und mit ihren Eigenschaften im Betrieb. Durch diesen reichhaltigen Inhalt wird das Buch in gleicher Weise dem Berechnungsingenieur und dem Betriebsingenieur wertvolle Dienste leisten können und zugleich den Studierenden das Verständnis für die synchronen Maschinen vermitteln.

Über die inneren Vorgänge der Maschinen, die besonders das Berechnungsingenieur interessieren, gibt vor allem die Feldkurve Aufschluß. Zur Erleichterung der Bestimmung der Feldkurve bei beliebigem Belastungszustand sind die Ergebnisse aus zahlreichen Feldbildern in Kurven und Zahlentafeln zusammengestellt, so daß das Aufzeichnen von Feldbildern dem Leser erspart wird. Auch die Faktoren, welche bei der Schenkelpolmaschine die Lärmquer- und Ankerlängsdurchflutung auf die Polmagnetdurchflutung zurückführen, können bei verschiedenen Polschlußformen und Sättigungsgraden für alle praktisch vorkommenden Fälle mit großer Genauigkeit und beifügten Kurventafeln abgelesen werden. Ein besonderer Abschnitt ist den Einschränkungen der Berechnung gewidmet; aus dem maßgeblichen Inhalt sei nur die Ermittlung der Ankerkeramspannung und der Zusatzverluste erwähnt. Ein anderer Abschnitt gibt für den Entwurf die erforderliche Anleitung und geht an Hand zahlreicher Abbildungen auch auf den konstruktiven Aufbau der Maschinen ein.

**Erster Band: Allgemeine Berechnungs-
elemente/Die Gleichstrom-
maschinen.** Mit 458 Textabbildungen. X,
630 Seiten. 1924.

Aus den Begegnungen des ersten Bandes: ... Auf dem verblüffend knappen Raum ist eine außerordentliche Fülle von Tatsachenmaterial und Rechnungsgerüsten vorbereitet; es ist wohl nicht zu viel gesagt, daß von dem, was für unsere Kenntnisse des abglandeten Gebietes von Wichtigkeit ist, nichts fehlt. Trotz dieser Fülle des Stoffes ist die Darstellung, dank einer strengen Gliederung und klaren Heraushebung des Wesentlichen, einheitlich und übersichtlich und trotz Kürze, ein ausgezeichnetes Lehrbuch von Kunppholt gründlich und eindringlich. Kurz, ein ausgezeichnetes Lehrbuch von hohem wissenschaftlichen Niveau, dem nicht nur bei den Studierenden der Elektrotechnik weite Verbreitung zu erwarten ist, sondern das auch den Physiker, der sich über das heutige Stand der Elektromaschinenbau oder irgend eine Spezialfrage orientieren will, warmstens empfohlen werden kann ... Busch, „Physikal. Zeitschrift Nr.



Handbuch der Astrophysik

Unter Mitarbeit von zahlreichen Fachgelehrten herausgegeben von
G. Eberhard A. Kohlschütter H. Ludendorff
Potsdam Bonn

*Das Handbuch wird 6 Bände umfassen. Jeder Band ist einzeln käuflich.
Jedoch verzichtet die Abnahme einer Hälfte eines Bandes zum Kauf
des ganzen Bandes.*

Soeben erschien: Band III, erste Hälfte:

Grundlagen der Astrophysik

Mit 44 Abbild. X, 473 Seiten. 1930. RM 74.—; geb. RM 77.—

Inhaltsübersicht: Wärmestrahlung. Von Prof. Dr. W. Westphal, Berlin. Mit 16 Abbild. Folgerungen aus der klassischen Physik. Das Strahlungsgesetz von Planck. Quantentheorie. Meßinstrumente und Meßmethoden. Die Bestimmung der Strahlungskonstanten. — Thermodynamics of the Stars. By Prof. E. A. Milne, Oxford. With 24 illustrations. Introduction. Survey of the Theory of Radiation. The Transmission of Radiation and the Theory of Radiative Equilibrium. Chromospheric Equilibrium. Polytropic Gas Spheres. The Total Energy of a Star and the Gravitational Theory of Stellar Evolution. The Internal Equilibrium of a Star. The Radiative Equilibrium of a Rotating Star. — Die Ionisation in den Atmosphären der Himmelskörper. Von Prof. Dr. A. Pannekoek, Amsterdam. Mit 3 Abbild. Elektrizität. Theorie des Ionisationsgleichgewichts. Thermodynamische Ableitung der Gleichgewichtsformel. Statistik des Ionisationsprozesses. Der Aufbau der Sternatmosphären. Ionisation auf der Sonne. Ionisationserscheinungen in den Sternspektren. Die Spektalklassen. Die absolute Helligkeit der Sterne. Die Emissionslinien. — The Principles of Quantum Theory. By Prof. S. Rosseland, Oslo. With 1 illustration. Introduction. Quantum Theory. The Stellar Absorption Coefficient.

Früher erschienen:

Grundlagen der Astrophysik

zweiter Teil, erste Hälfte

Mit 134 Abbildungen. XI, 430 Seiten. 1929. RM 66.—; gebunden RM 78.80

Band IV:

Das Sonnensystem

zweiter Teil

Mit 221 Abbildungen. VIII, 501 Seiten. 1929. RM 76.—; gebunden RM 88.70

Band VI:

Das Sternensystem

Mit 123 Abbildungen. IX, 474 Seiten. 1928. RM 66.—; gebunden RM 88.70

VERLAG VON JULIUS SPRINGER IN BERLIN

Druck von Friedr. Vieweg & Sohn Akt.-Ges., Braunschweig

B
54191 (8)